





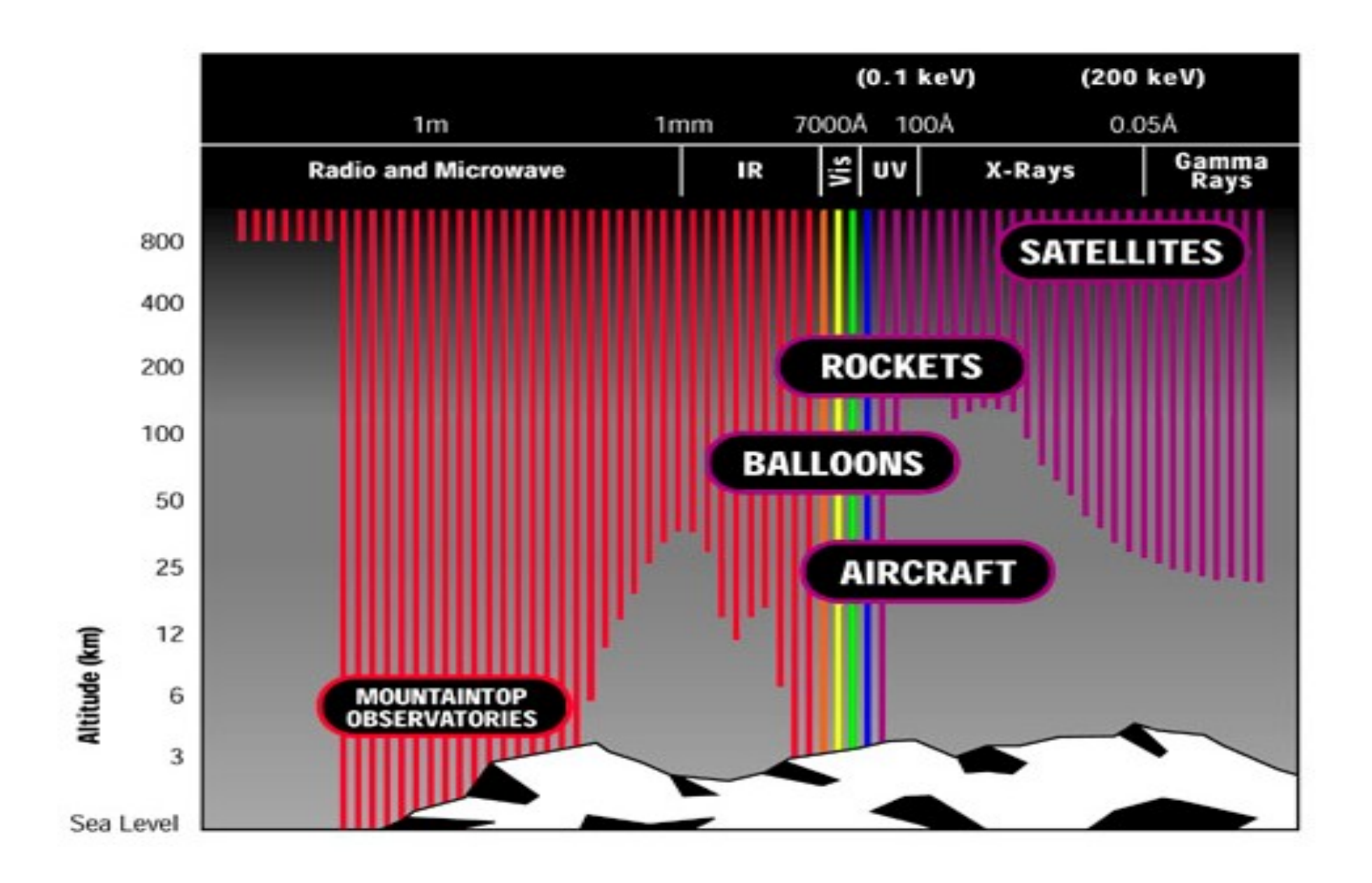
## Attività di Laboratorio nel Campo della Astronomia a Raggi X e Astrobiologia

Marco Barbera, Luisa Sciortino
UNIPA - Dipartimento di Fisica e Chimica

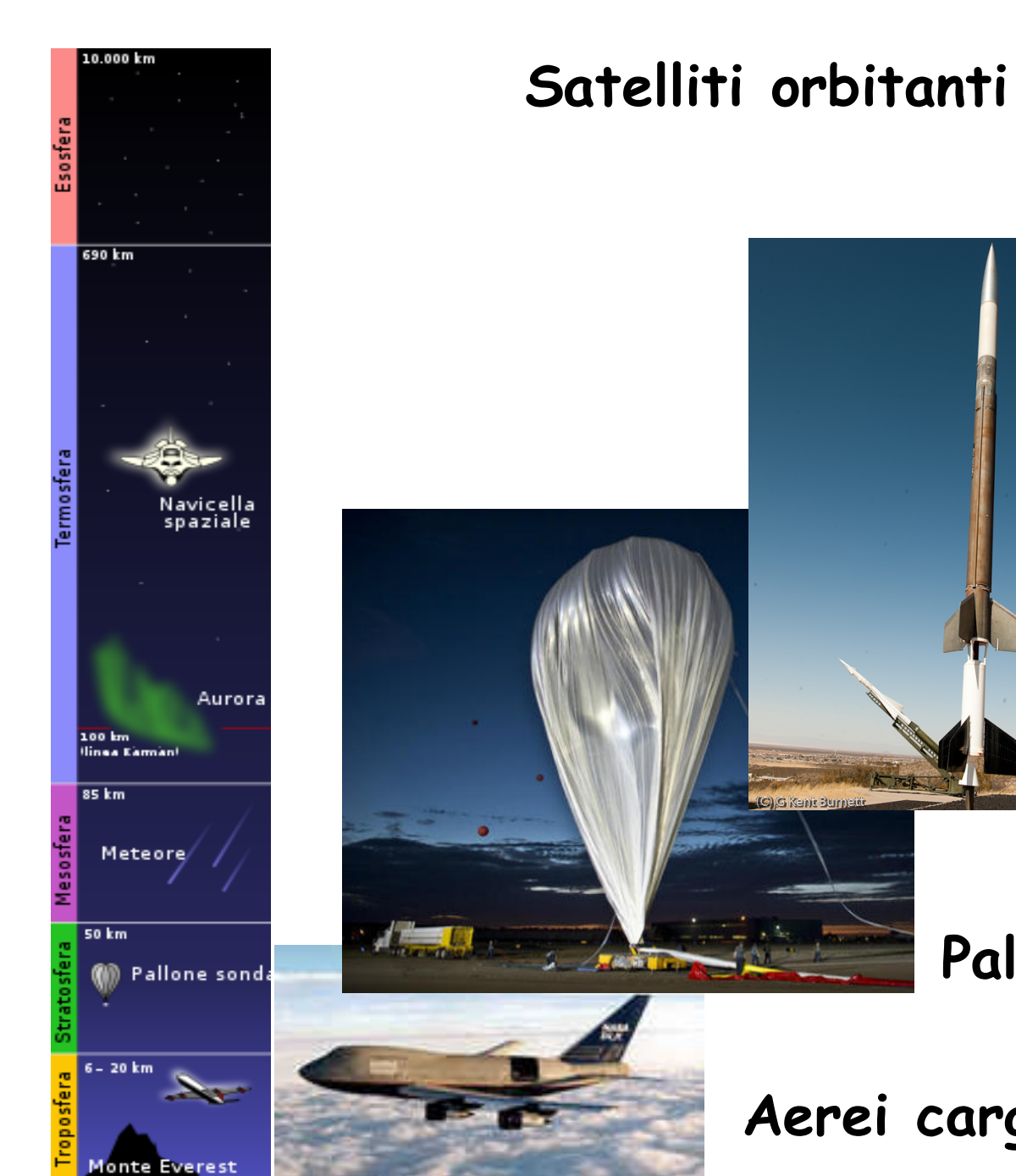
Angela Ciaravella, Alfonso Collura, Salvatore Ferruggia Bonura, Antonio Jimenez Escobar, Ugo Lo Cicero, Giuseppe Lo Cicero

INAF-Osservatorio Astronomico di Palermo

#### Assorbimento Atmosferico della Radiazione EM



#### Osservazioni Astronomiche dallo Spazio



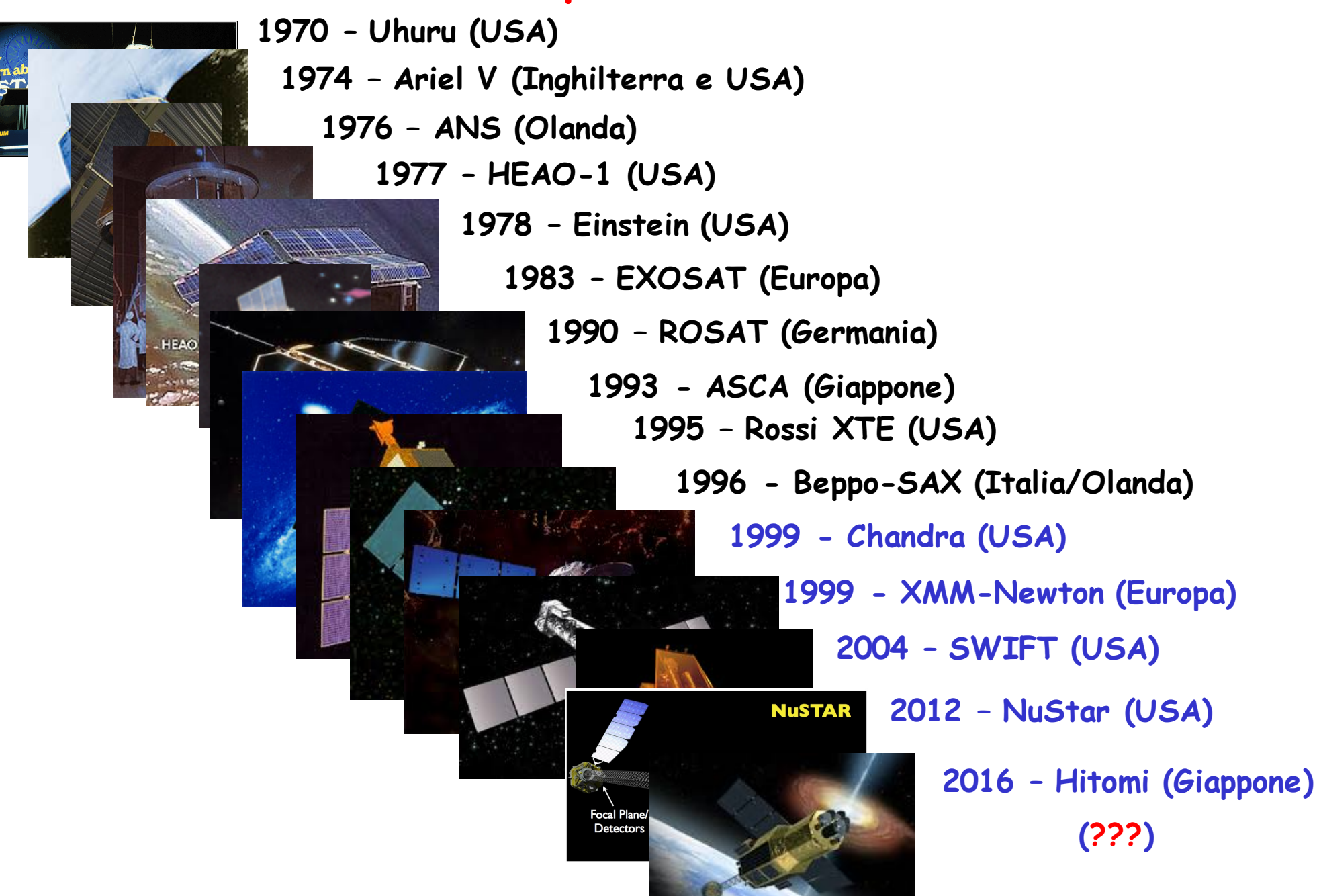


Razzi sonda

Palloni stratosferici

Aerei cargo

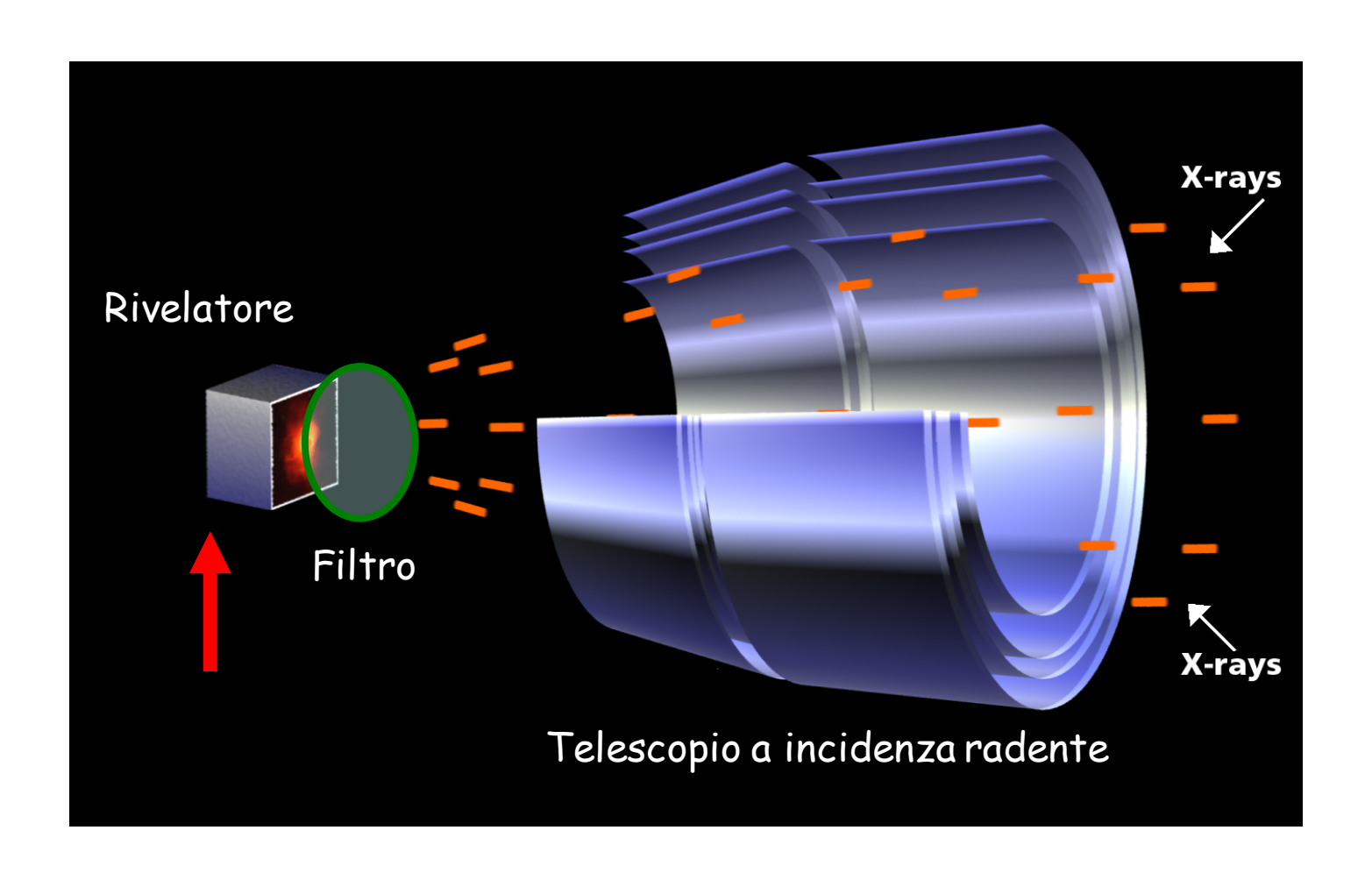
#### Satelliti per Astronomia X



# Il Laboratorio XACT (X-Ray Astronomy Calibration and Testing Facility)



## Osservatorio Spaziale per Raggi X



### Calibrazione di Rivelatori di Raggi X



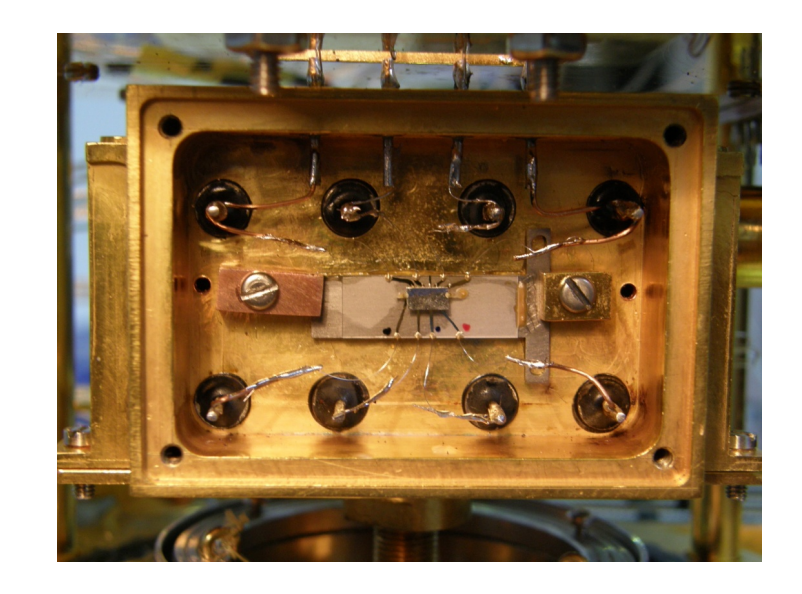
Esperimento SPHINX volato a bordo della missione Russa Coronas Photons

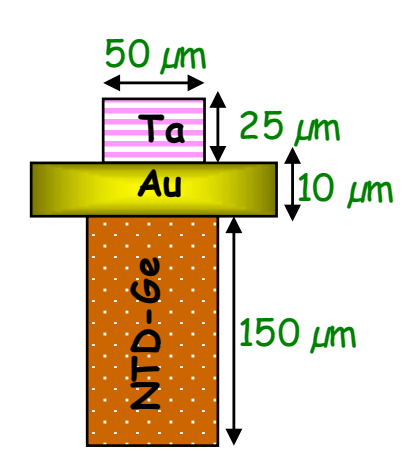


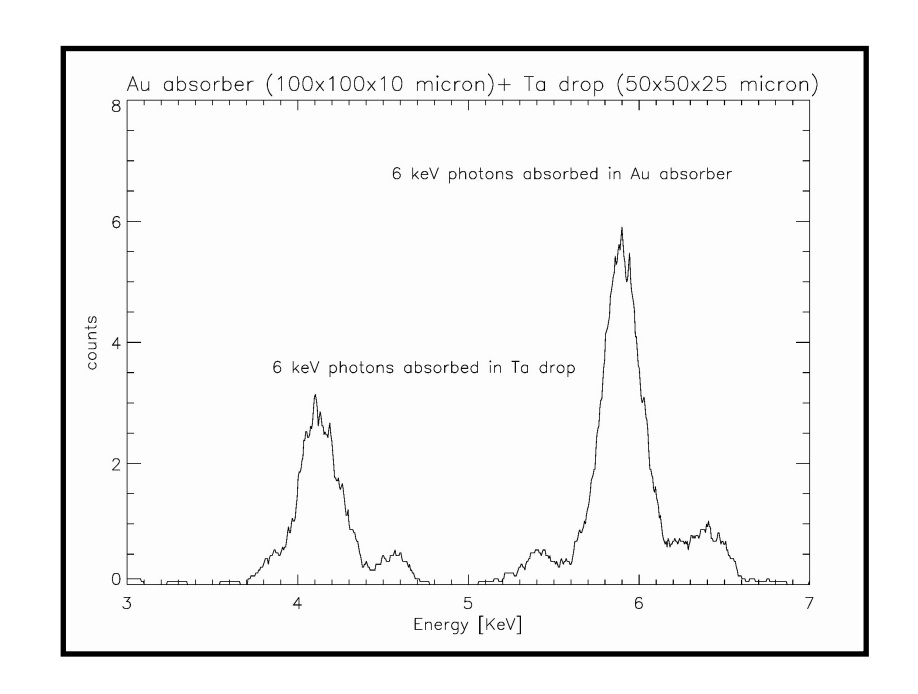
Esperimento LOXIA volato a a bordo della missione Cinese Chang'e-1

#### Caratterizzazione di Microcalorimetri

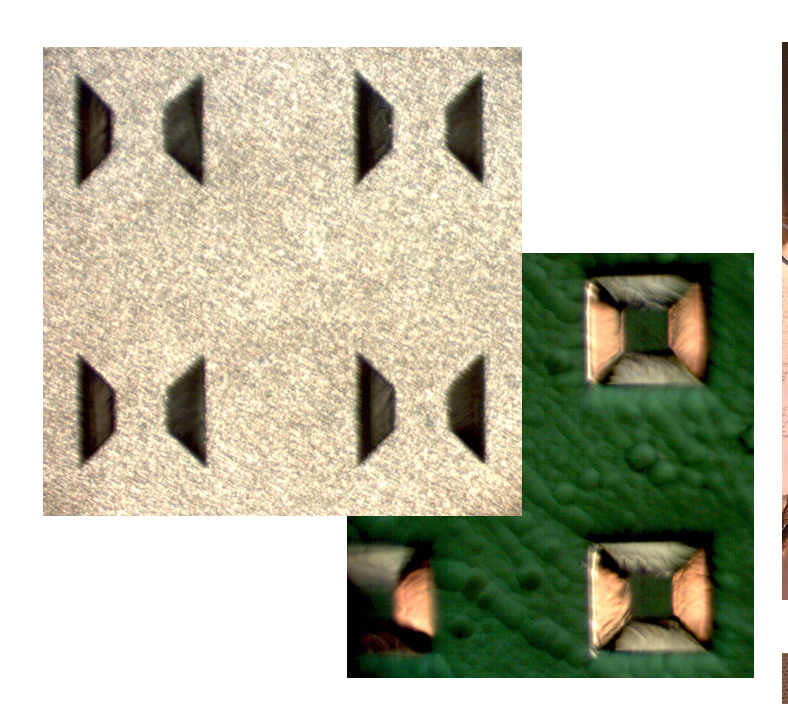








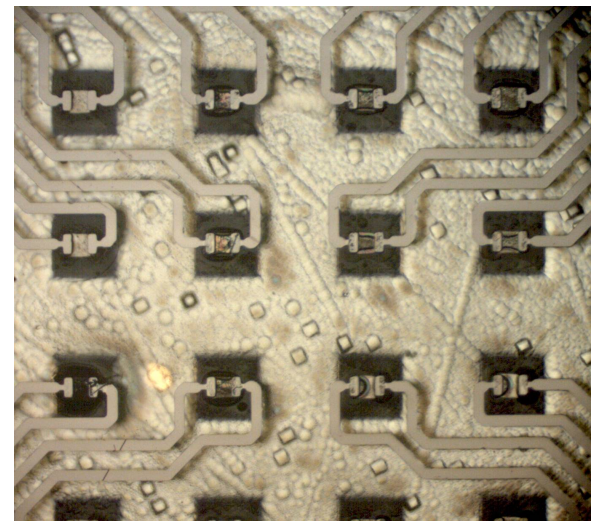
### Tecnologie Planari per Matrici di Microcalorimetri





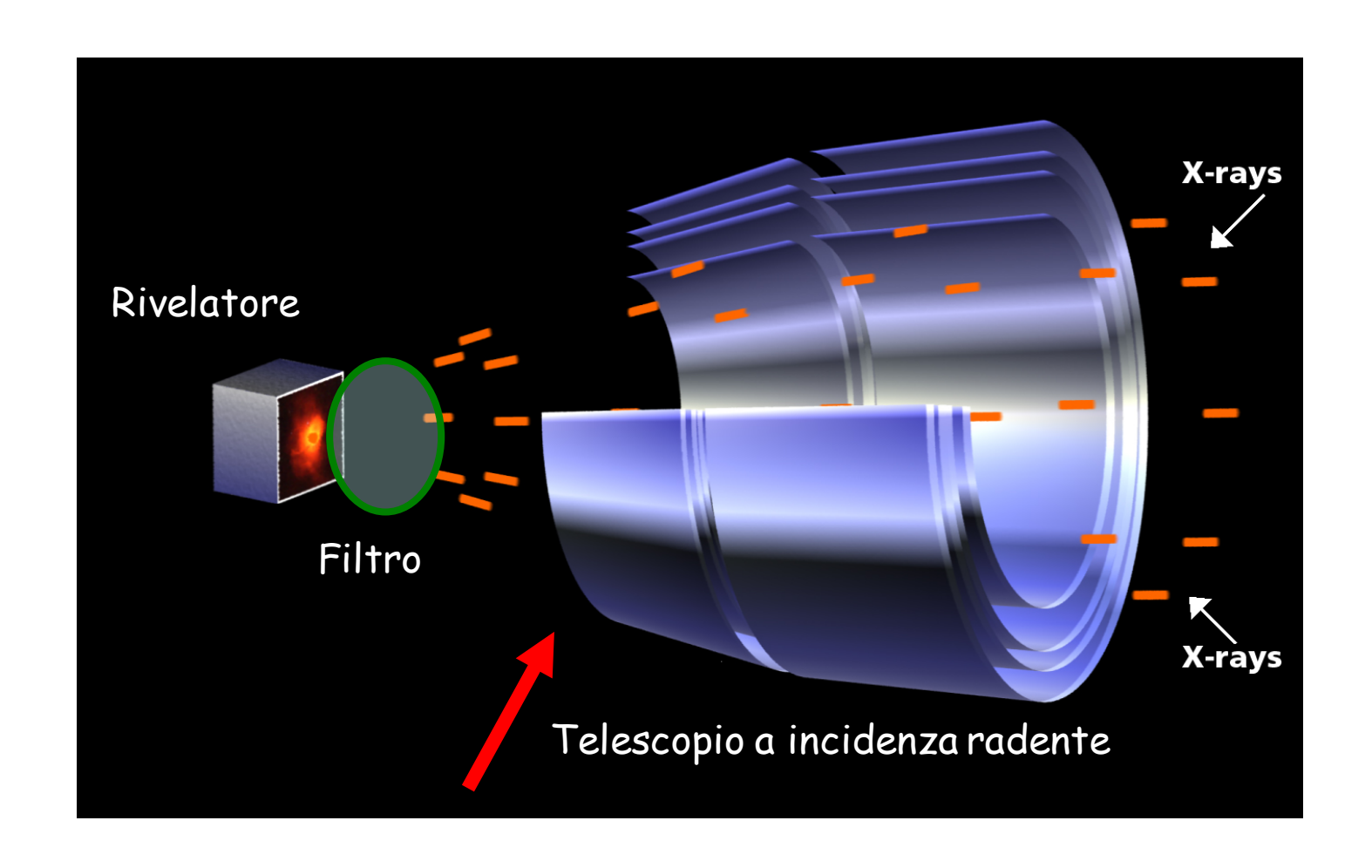




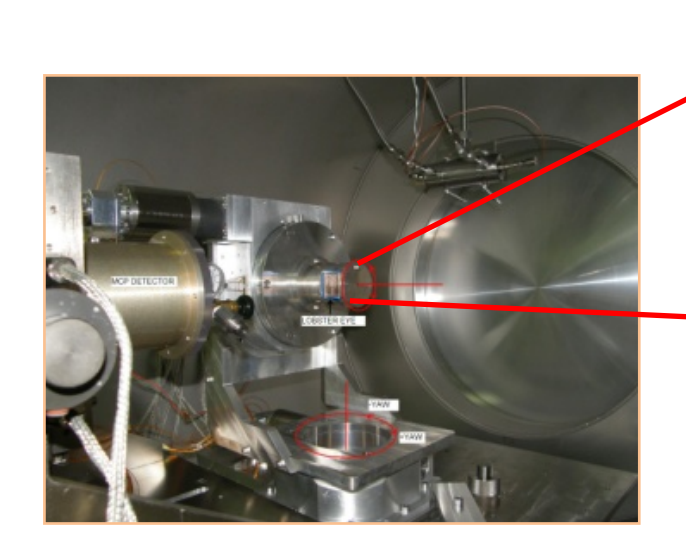




## Osservatorio Spaziale per Raggi X



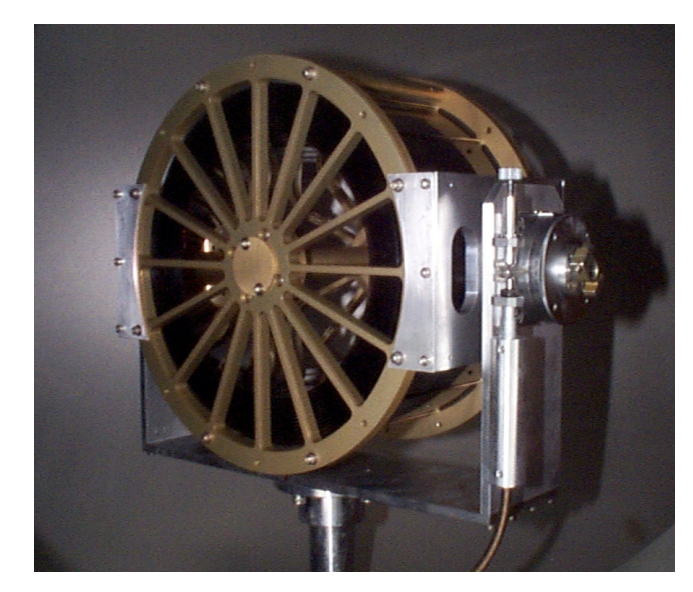
#### Sviluppo e Caratterizzazione di Ottiche per Raggi X





Ottiche Lobster Eye a grande campo di vista

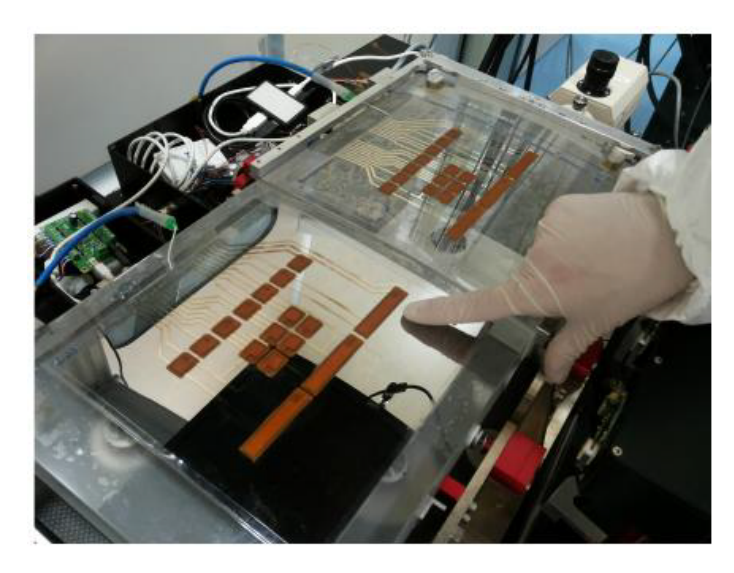
Ottiche in plastica a molti gusci annidati

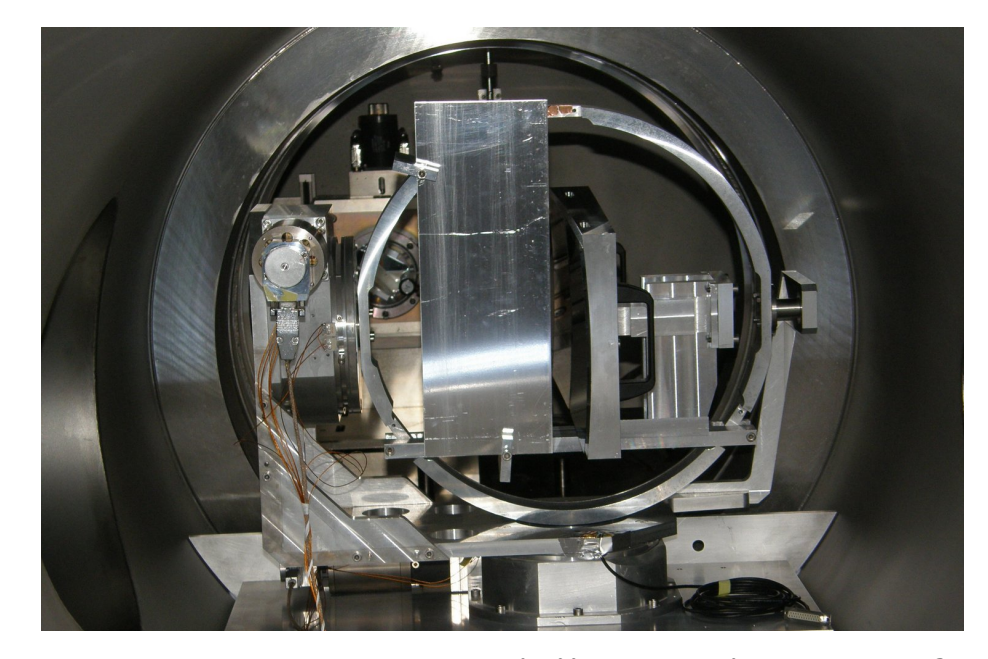


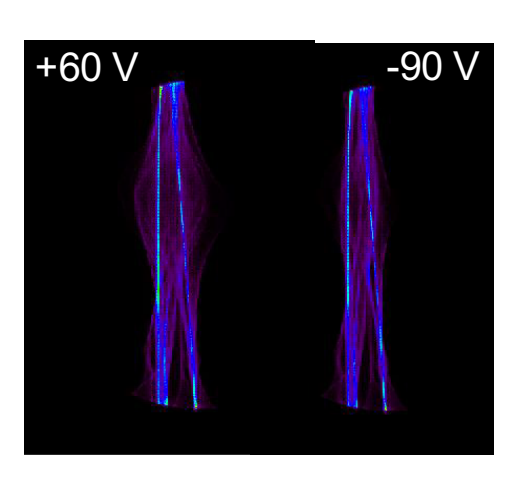


Le ottiche per raggi X attive potrebbero consentire il raggiungimento di una elevata risoluzione angolare anche usando materiali leggeri come il vetro.

attuatori piezo-ceramici tangenziali applicati sul retro di due specchi di vetro sottile (parabola+iperbole in configurazione Wolter I).

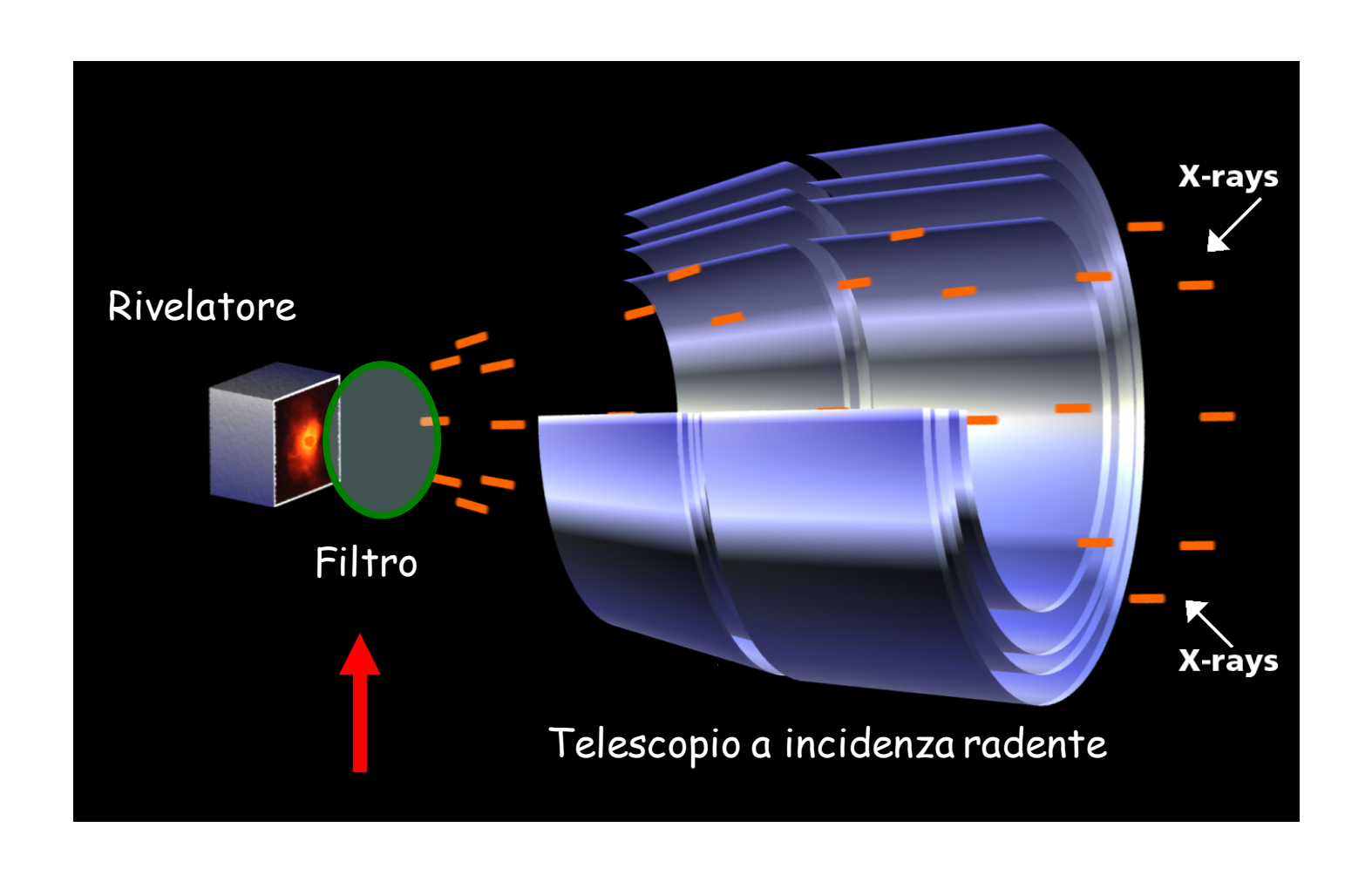




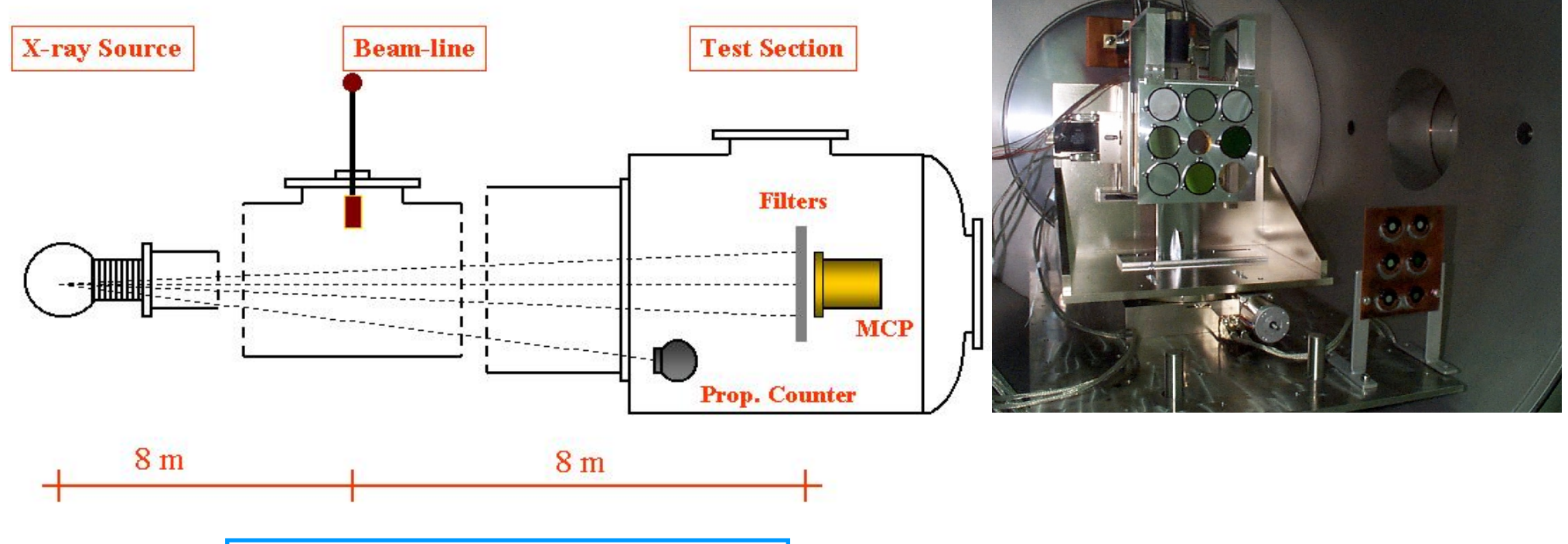


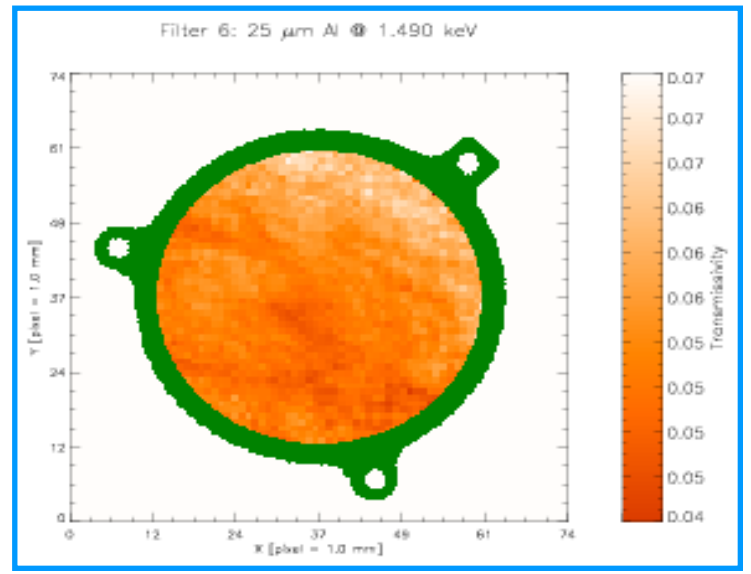
La caratterizzazione delle ottiche viene fatta studiando le immagini intra-focali in raggi X da cui è possibile ricostruire la deformazione dell'ottica che va corretta.

## Osservatorio Spaziale per Raggi X



#### Sviluppo e Calibrazione di filtri

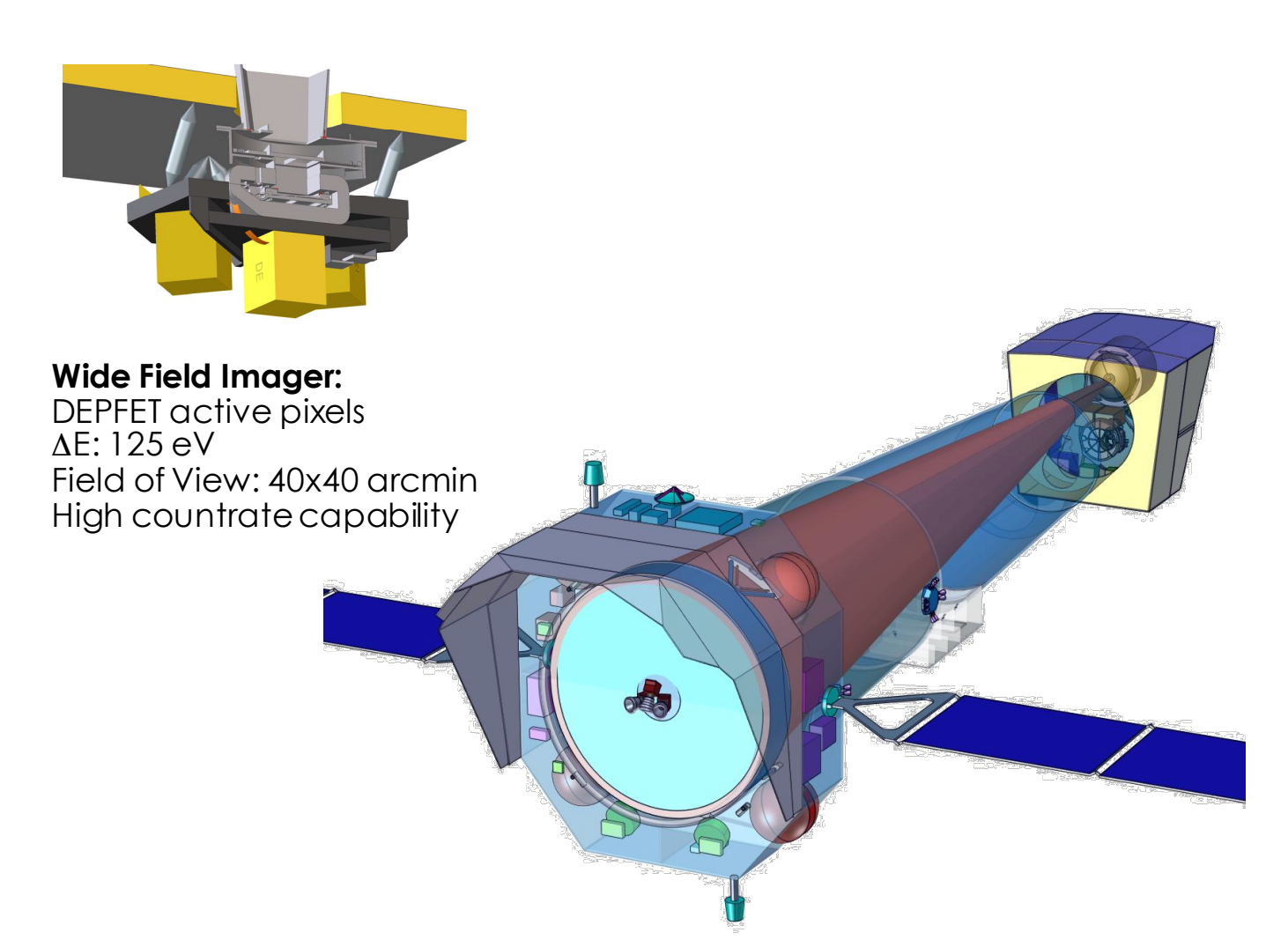


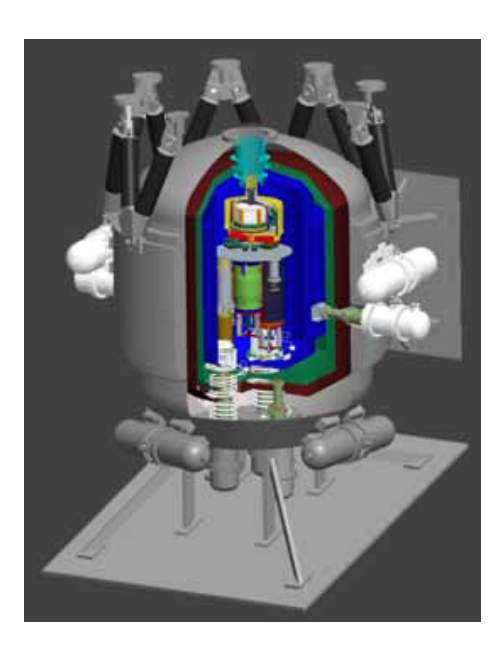


Filtri dell'esperimento XRT a bordo della missione giapponese HINODE

#### Partecipazione alla missione ATHENA

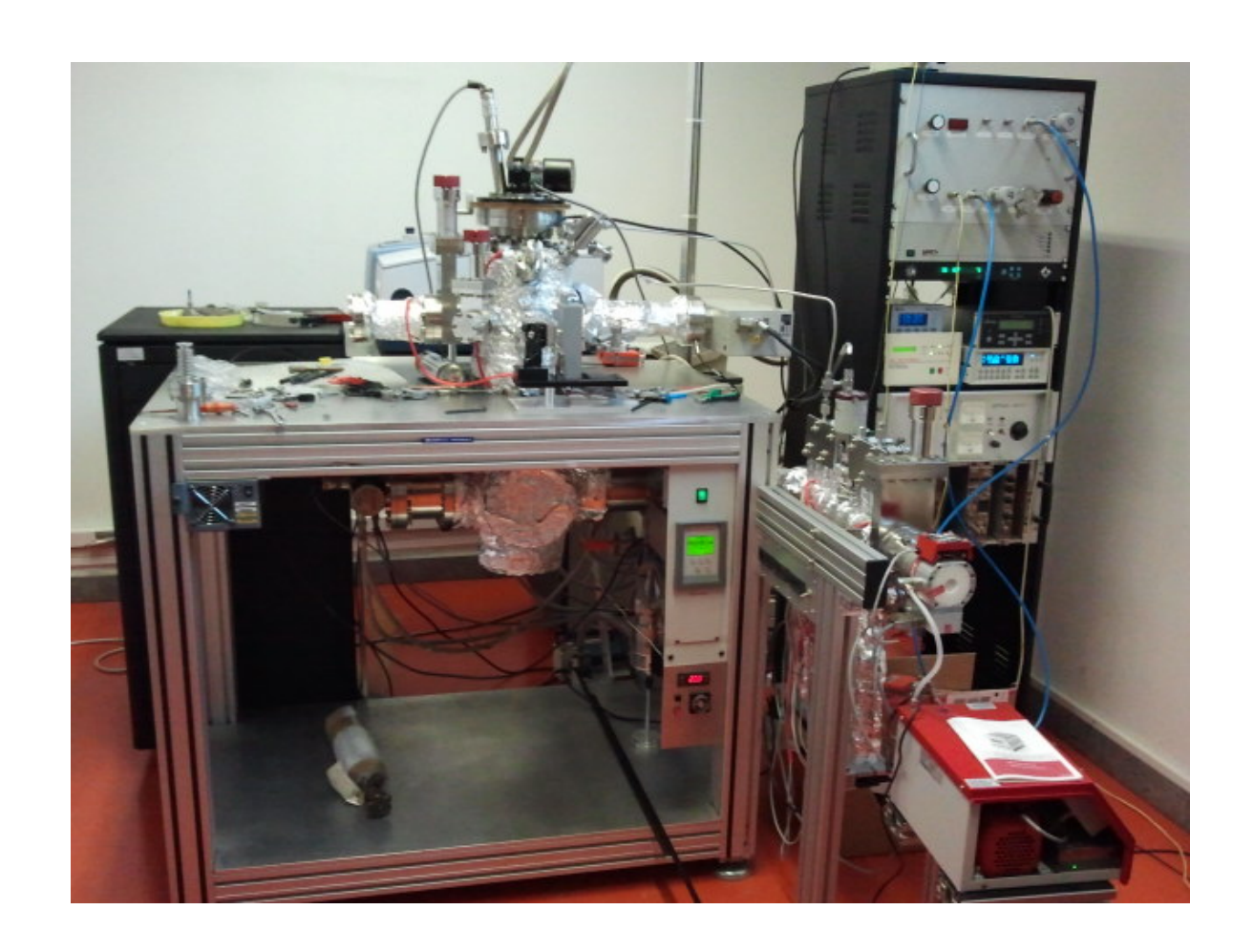
La missione ATHENA, selezionata dall'Agenzia Spaziale Europea come missione L2 del programma Cosmic-Vision (lancio nel 2028) è un osservatorio per raggi X dotato di un telescopio a grande area (circa 2 m²) e elevata risoluzione angolare (< 5" HEW) con due rivelatori di piano focale: lo X-Ray Integral Field Unit (X-IFU) e il Wide Field Imager (WFI).





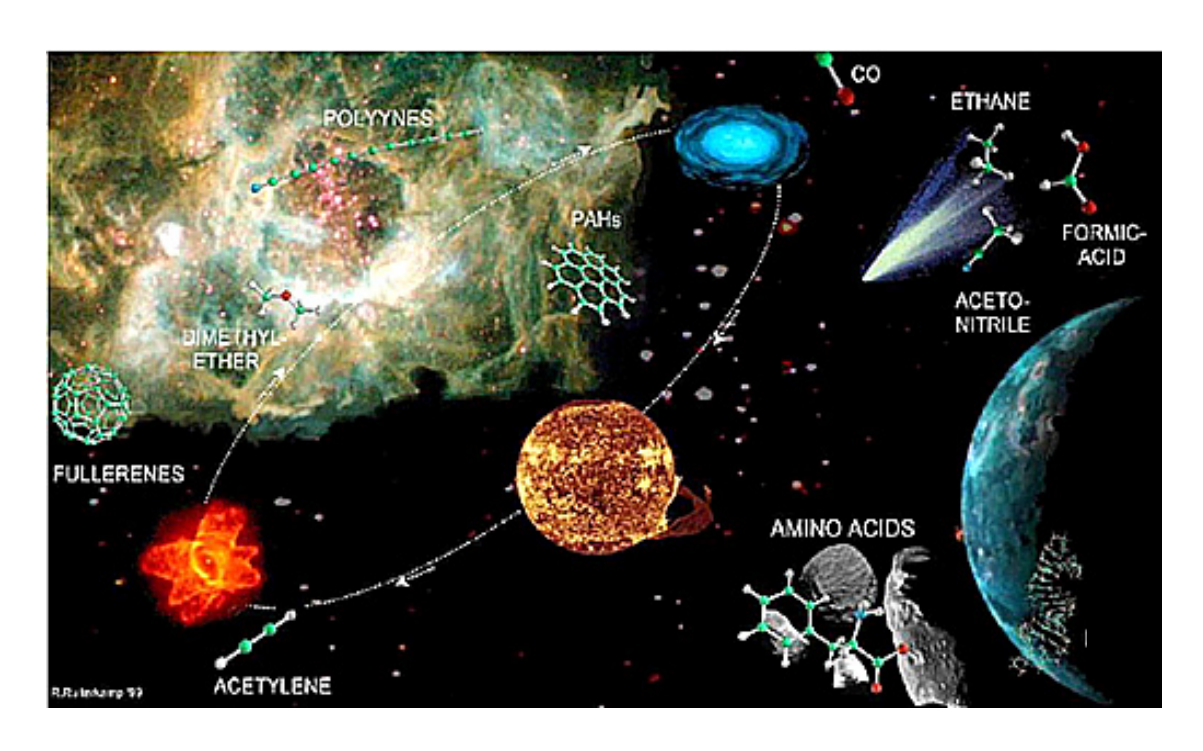
X-ray Integral Field Unit:
TES micro-calorimeters
ΔE: 2.5 eV
Field of View: 5 arcmin diam.
Operating temp: 50 mk

## Il Laboratorio LIFE (Light Irradiation Facility for Exochemistry)



Studio della Formazione di molecole organiche, rilevanti per la vita, ottenendo in laboratorio condizioni simili a quelle dello Spazio.

#### Sono state osservate circa 200 molecole.... di cui molte organiche



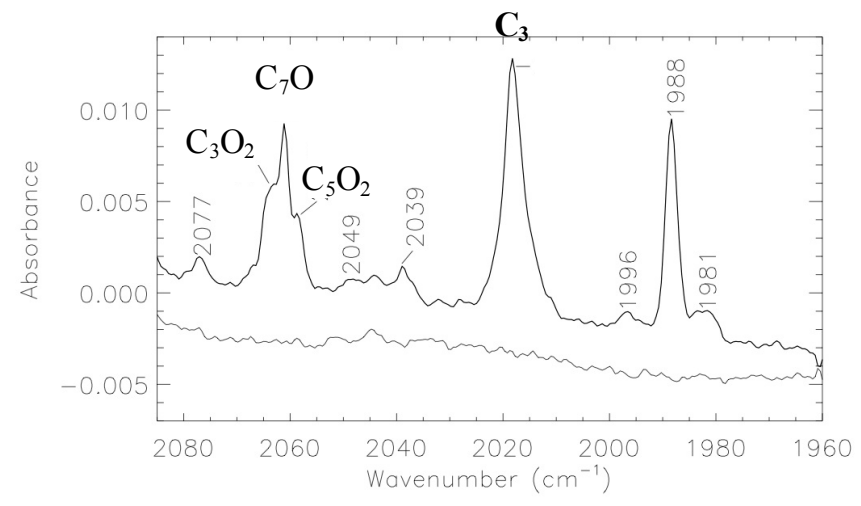
CO, CO<sub>2</sub>, CH<sub>4</sub>, H<sub>2</sub>O, CH<sub>3</sub>OH..., zuccheri,....



....si formano nei ghiacci del mezzo interstellare

La radiazione gioca un ruolo fondamentale.

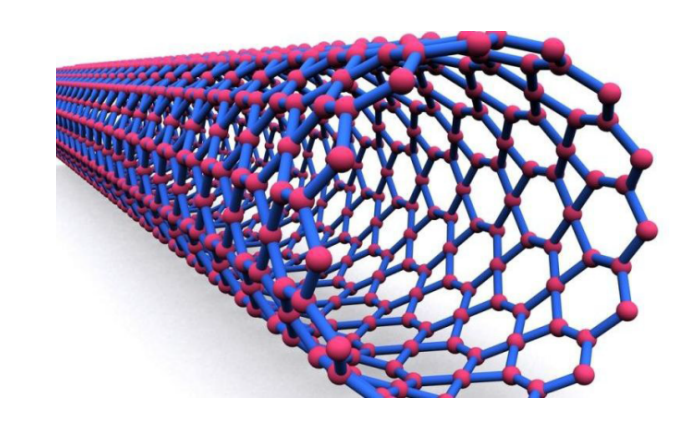
Irraggiamento di un ghiaccio di CO con radiazione X



# Accrescimento Di Nanotubi Di Carbonio Mediante MW-PE-CVD con ECR

I nanotubi di carbonio (CNT) sono strutture tridimensionali costituite da atomi di carbonio disposti ordinatamente sulla superficie di un cilindro.

I CNT possono avere una o più pareti e hanno diametri tipici di alcuni nanometri. Essi presentano peculiari proprietà elettroniche, ottiche e termiche.



Uno dei metodi più utilizzati per la crescita dei CNT è la Chemical Vapour Deposition (CVD) ed in particolare la Plasma Enhanced CVD.

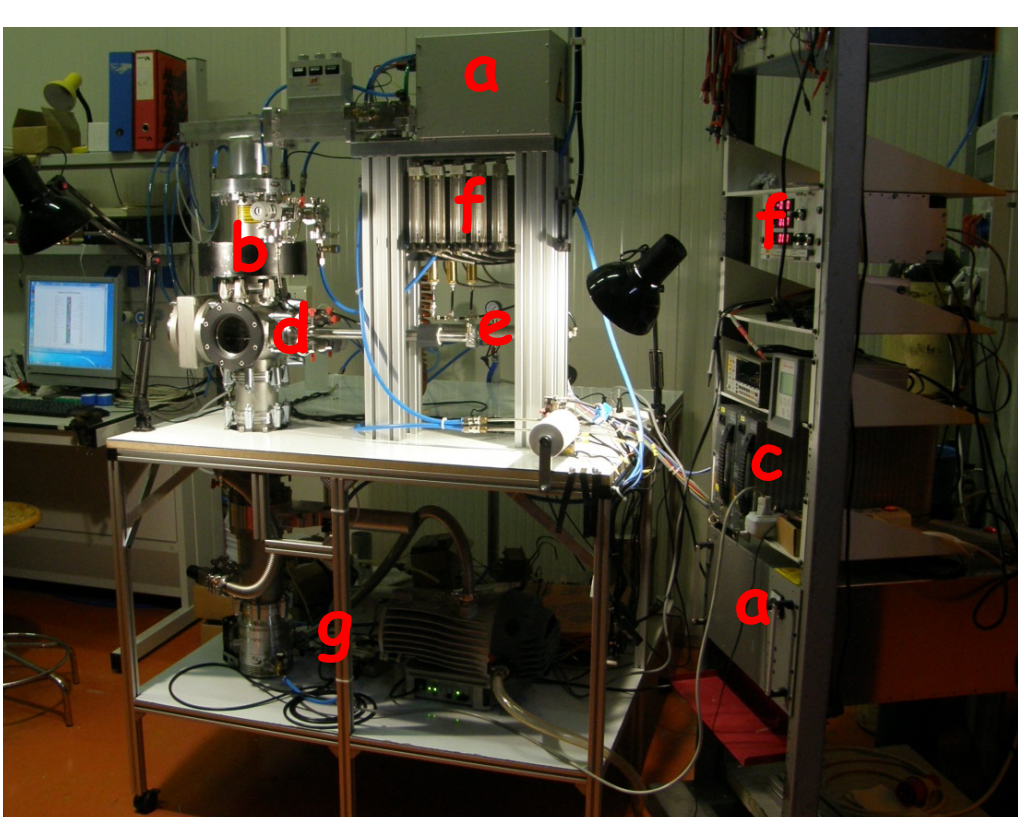
Presso INAF-OAPA è stata realizzata una PE-CVD con risonanza ciclotronica degli elettroni (ECR). La prima applicazione dei CNT riguarderà la realizzazione di catodi freddi, cioè di emettitori di elettroni per effetto di campo, per tubi a raggi X e tubi a microonde.

Plasma ad argon



Plasma a metano





- a) Generatore di microonde (f = 2.45 GHz)
- b) Magnete per ECR (B = 0.0875 T)
- c) Alimentatore per il magnete
- d) Camera di processo
- e) Traslatore x-z substrati
- f) Sistema di controllo dei gas di processo
- g) Sistema di generazione del vuoto